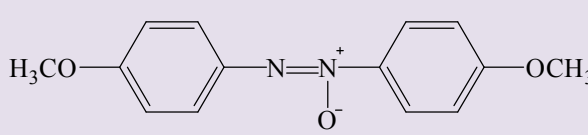
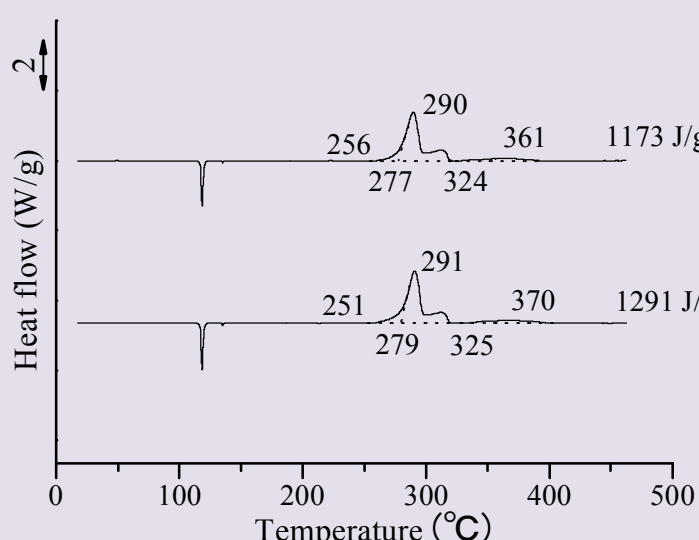
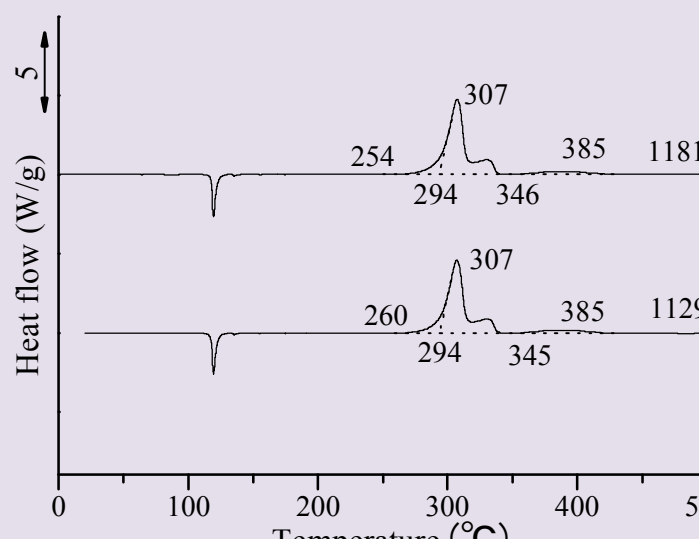
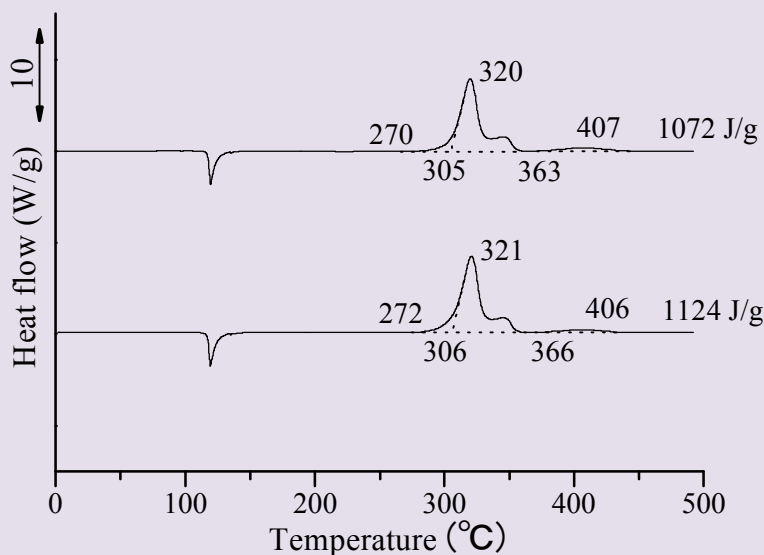


<p>4,4'-Azoxydianisole</p>	<p>$C_{14}H_{14}N_2O_3$ AzoxyA</p>
	<p>DSC device: SII DSC 7020 SII Nano Technology Inc. dT/dt: 2, 5, 10, 20 K/min Atmosphere: Air Vesel: pressure vessel (SUS) SII Nano Technology Inc. Sample: TGI (> 98.0%)</p>
<p>a) 2 K/min TGI: 東京化成工業株式会社</p>	
	<p><Average> T_a: 254 °C T_o: 278 °C T_{top}: 291 °C Q_{DSC}: 1232 J/g</p>
<p>b) 5 K/min</p>	
	<p><Average> T_a: 257 °C T_o: 294 °C T_{top}: 307 °C Q_{DSC}: 1155 J/g</p>

c) 10 K/min



<Average>

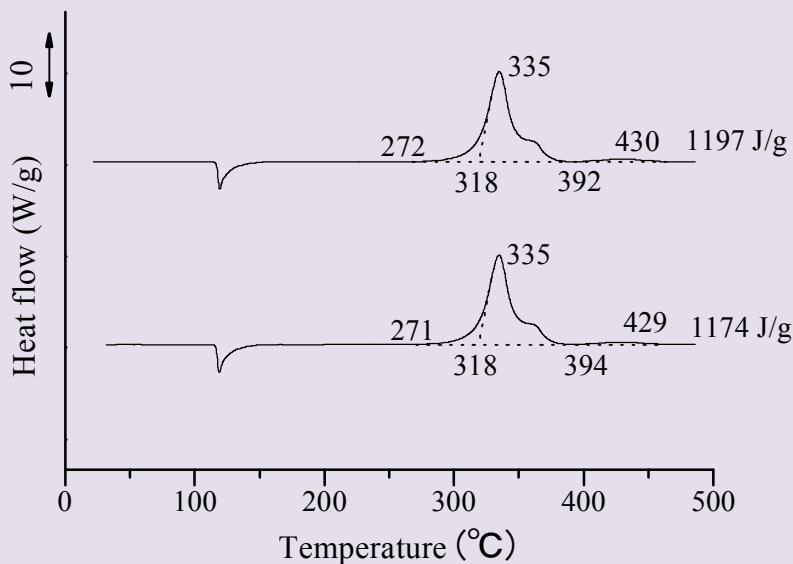
T_a : 271 °C

T_o : 306 °C

T_{top} : 321 °C

Q_{DSC} : 1098 J/g

d) 20 K/min



<Average>

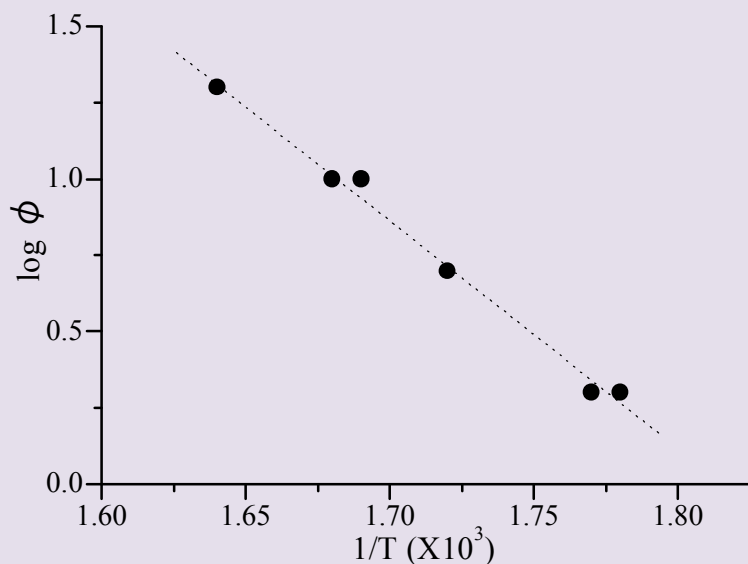
T_a : 272 °C

T_o : 318 °C

T_{top} : 335 °C

Q_{DSC} : 1186 J/g

ASTM PLOT



Heat rate ϕ (K/min)	T_{peak} (°C)	T_m (K)	$1/T_m \cdot 10^3$	$\log \phi$
2	290	563	1.78	0.301
	291	564	1.77	0.301
5	307	580	1.72	0.699
	307	580	1.72	0.699
10	320	593	1.69	1.00
	321	594	1.68	1.00
20	335	608	1.64	1.30
	335	608	1.64	1.30